

Rozdział 5

Interpolacja wielomianowa i splajnowa

5.1 Wielomiany w octave

W octave istnieje cała gamma funkcji związanych z wielomianami:

- **polyval**() - funkcja pozwalająca obliczać wartość wielomianu zadanego w bazie potęgowej dla danej wartości x , czy całej macierzy wartości
- **polyfit**() - funkcja znajdująca współczynniki wielomianu zadanego stopnia najlepiej dopasowanego do zadanej tabelki punktów.
- **polyinteg**() - zwraca współczynniki wielomianu będącego całką nieoznaczoną z danego wielomianu
- **polyderiv**() - zwraca współczynniki wielomianu będącego pochodną z danego wielomianu
- **roots**() - zwraca zera wielomianu
- **conv**(a,b) - zwraca współczynniki wielomianu będącego iloczynem wielomianów o współczynnikach odpowiednio z wektorów a, b

Będziemy korzystali przede wszystkim z dwóch pierwszych funkcji.

We wszystkich tych funkcjach przyjmowane jest, że rozpatrujemy współczynniki wielomianu w bazie potęgowej, ale w następującej kolejności:

$$(x^n, x^{n-1}, \dots, 1).$$

Współczynniki indeksowane są od jedynki, tzn. wielomian stopnia nie większego od n :

$$w(x) = \sum_{k=1}^{n+1} a_k x^{n+1-k}$$

jest reprezentowany przez wektor współczynników: (a_1, \dots, a_{n+1}) .

Jeśli chcemy policzyć wartość w w danym punkcie x , czy ewentualnie dla tablicy punktów umieszczonych w macierzy X , wywołujemy **polyval(a,x)** lub **polyval(a,X)**.

Tak więc, aby narysować wykres funkcji $x^3 - 2x + 1$ na $[-3, 4]$ można wykonać następującą sekwencję komend :

```
a=[1,0,-2,1]; #definiujemy wsp.
x=linspace(-3,4);#siatka
wx=polyval(a,x); #wartosc w na siatce
plot(x,wx); #wykres
```

5.2 Interpolacja wielomianowa

Interpolacja wielomianowa polega na tym, że szukamy funkcji p z pewnej przestrzeni wielomianów (zazwyczaj wielomianów stopnia nie większego od n), które w tych punktach spełniają odpowiednie warunki interpolacyjne, tzn. p oraz jej pochodne mają w tych punktach zadane wartości.

5.2.1 Interpolacja Lagrange'a

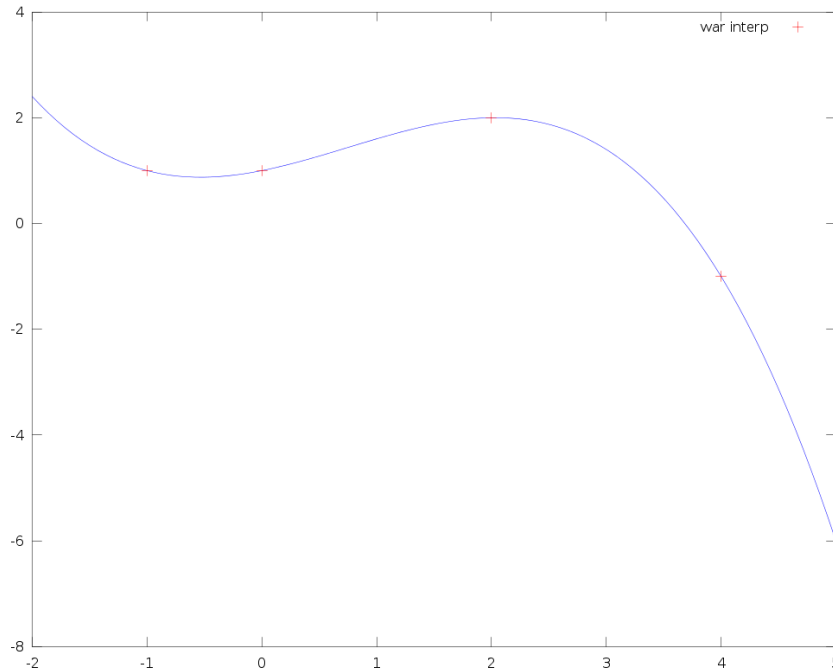
W interpolacji wielomianowej Lagrange'a dla zadanych $n+1$ różnych punktów x_k i wartości $y_k = f(x_k)$ szukamy wielomianu $p(x)$ stopnia co najwyżej n takiego, że spełnione są następujące warunki interpolacyjne:

$$f(x_k) = p(x_k) = y_k \quad k = 1, \dots, n + 1.$$

Funkcja **polyfit(x,y,n)** znajduje współczynniki wielomianu p w bazie potęgowej dla wektorów x, y długości $n + 1$. Ważne aby wartości w x były różne.

Przetestujmy tę funkcję dla następujących danych: $x = (-1, 0, 2, 4)$, $y = (1, 1, 2, -1)$:

```
x=[-1,0,2,4];
y=[1,1,2,-1];
a=polyfit(x,y,3);
s=linspace(-2,5);
plot(s,polyval(a,s),x,y,"r+;war_interp;")
```



Rysunek 5.1: Wykres wielomianu interpolacyjnego. Czerwone plusy - warunki interpolacyjne

Widać na rysunku 5.1, że wielomian spełnia warunki interpolacyjne. Możemy to sprawdzić też obliczeniowo:

```
max(abs(y-polyval(a,x)))
```

Otrzymaliśmy wynik: błąd w węzłach jest równy prawie zero.

Przetestujmy `polyfit(x,y,n)` dla dużych n dla węzłów równoodległych na $[0, 1]$ i losowe wartości y z $[-1, 1]$, następnie policzmy błąd w węzłach w zależności od N :

```
N=100;
er=zeros(N+1,1);
for k= 0:N,
    x=linspace(0,1,k+1);
    y=2*(rand(size(x))-0.5);
    a=polyfit(x,y,k);
    er(k+1)=max(abs(y-polyval(a,x)));
endfor
```

max(er)

Widzimy, że możemy otrzymać niepoprawny wynik dla dużych N . Wynika to ze złych własności algorytmu stosowanego przez octave'a ze względu na zaburzenia powodowane przez niedokładne obliczenia w arytmetyce zmienneopozycyjnej.

Zbadajmy błąd pomiędzy funkcją, a jej wielomianem interpolacyjnym. Na początek rozpatrzmy analityczną funkcję $f(x) = \sin(x)$ i węzły równo-odległe, oraz normę supremum na odcinku $[-4, 6]$. Normę supremum:

$$\|g\|_{\infty, [a, b]} := \sum_{t \in [a, b]} |g(t)|$$

przybliżymy poprzez dyskretną normę na siatce N równomiernie rozłożonych punktów na tym odcinku $[a, b]$, czyli

$$\|f\|_{h, \infty, [a, b]} = \max_k |f(a + k * h)|$$

z $h = (b - a)/N$:

```
x = [-1, 0, 2, 4];  
y = [1, 1, 2, -1];  
a = polyfit(x, y, 3);  
s = linspace(-2, 5);  
plot(s, polyval(a, s), x, y, "r+;warp_interp;")
```

5.2.2 Interpolacja Hermite'a

Rozpatrzmy teraz zadanie interpolacji Hermite'a. W interpolacji wielomianowej Hermite'a dla zadanych $n + 1$ różnych punktów x_k i naturalnych krotności węzłów p_k szukamy wielomianu $w(x)$ stopnia co najwyżej N dla $N = \sum_{k=0}^n p_k - 1$ takiego, że spełnione są następujące warunki interpolacyjne:

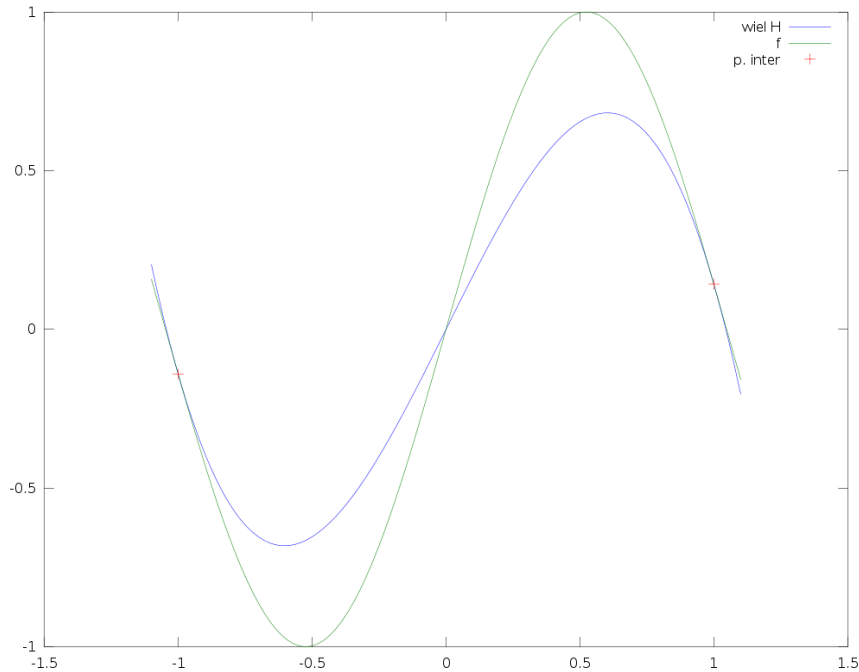
$$w^{(j)}(x_k) = y_{k,j} \quad k = 1, \dots, n + 1, \quad j = 0, \dots, p_k - 1.$$

Tutaj $y_{k,j}$ to $N + 1$ zadanych wartości.

W octave nie ma funkcji realizującej interpolację Hermite'a.

Ale czy w szczególnych przypadkach nie możemy łatwo rozwiązać tego problemu korzystając z odpowiednich funkcji octave'a?

Rozpatrzmy przypadek węzłów tej samej krotności; np. n różnych dwukrotnych węzłów.



Rysunek 5.2: Interpolacja Hermite'a $\sin(3x)$ - dwa dwukrotne węzły $-1, 1$

Chcemy znaleźć współczynniki wielomianu $\sum_{k=0}^N a_k x^k$ dla $N = 2(n + 1)$ takie, że

$$w(x_k) = f(x_k), \quad w'(x_k) = f'(x_k).$$

Czyli rozwiązanie spełnia następujący układ równań liniowych:

$$\sum_{k=0}^N a_k x_j^k = f(x_j) \quad j = 0, \dots, n$$

$$\sum_{k=1}^N k a_k x_j^{k-1} = f'(x_j) \quad j = 0, \dots, n.$$

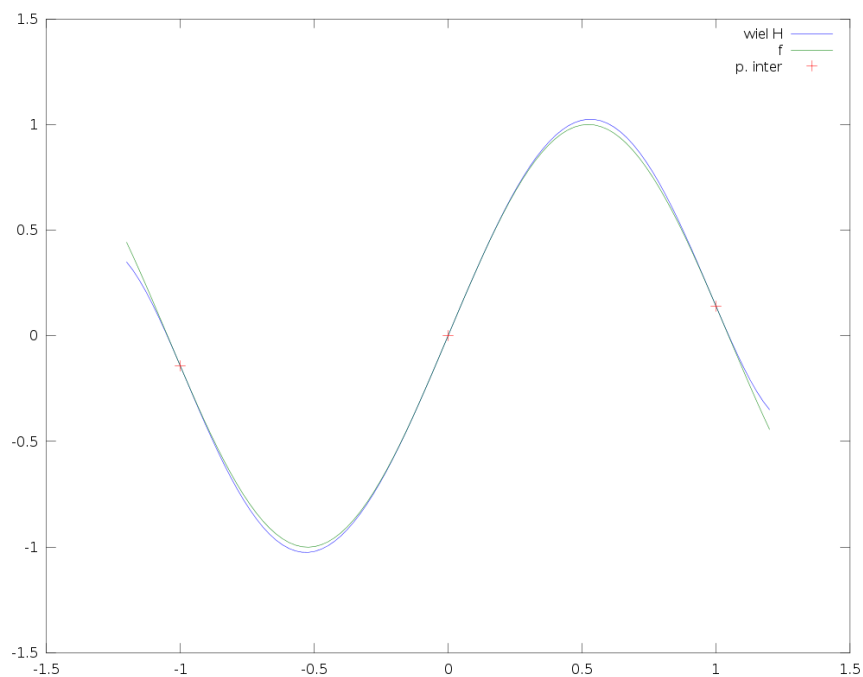
Utwórzmy macierz tego układu z pomocą funkcji **vander(x)**, która tworzy macierz Vandermonde'a dla węzłów podanych w wektorze x :

```
function [a, C, f]=interpolyH(x, y, dy)
#tworzy współczynniki wielomianu Hermite'a dla
#węzłów dwukrotnych z x
#y= wartości w węzłach x (wektor pionowy)
```

```

#wartosci pochodnej w wezlach x (wektor pionowy)
#output: wspolczynniki wielomianu w bazie potegowej
# (Zgodne z polyval())
#C- opcja - macierz ukladu
n=length(x);
N=2*n-1;
A=vander(x,N+1);
D=diag(N:-1:0);
B=zeros(size(A));
B(:,1:N)=A(:,2:N+1);
B=B*D;
C=[A;B];
f=[y;dy];
a=C\[y;dy];
endfunction

```



Rysunek 5.3: Interpolacja Hermite'a $\sin(3x)$ - trzy dwukrotne węzły $-1, 0, 1$

Na początku przetestujmy tę funkcję dla węzłów $-1, 1$ dwukrotnych i funkcji $\sin(3 * x)$.

```

x = [-1; 1];
f=@(x) sin(3*x);
df=@(x) 3*cos(3*x);
y=f(x);
dy=df(x);
a=interpolyH(x,y,dy);
z=linspace(-1.1,1.1);
plot(z,polyval(a,z),'r'); hold on; plot(z,f(z),'b'); hold off;

```

Z wykresu funkcji i wielomianu widzimy, że wielomian przecina wykres i jest styczny w punktach $-1, 1$, por. rysunek 5.2.

Zobaczmy co się stanie w przypadku trzech węzłów. Testujemy funkcję dla węzłów $-2, 0, 2$ dwukrotnych i $\sin(3 * x)$.

```

x = [-1; 0; 1];
f=@(x) sin(3*x);
df=@(x) 3*cos(3*x);
y=f(x);
dy=df(x);
a=interpolyH(x,y,dy);
z=linspace(-1.2,1.2);
plot(z,polyval(a,z),'r'); hold on; plot(z,f(z),'b'); hold off;

```

Z rysunku 5.3 widać, że funkcja działa poprawnie również w tym przypadku.

5.3 Interpolacja zespolona. Algorytm FFT

W tym rozdziale omówimy krótko interpolację zespoloną, ale tylko w przypadku określonych węzłów zespolonych równomiernie rozmieszczonych na sferze jednostkowej.

Chcemy znaleźć współczynniki zespolone $a_k \in \mathbb{C}$, $k = 0, \dots, N$ takie, że

$$\sum_{k=0}^N a_k z_j^k = b_k \quad j = 0, \dots, N$$

dla danych zespolonych b_k i $z_j = \exp\left(\frac{2\pi i * j}{N+1}\right)$ dla $j = 0, \dots, N$, czyli pierwiastków z jedynki stopnia $N + 1$.

Równoważnie możemy to zadanie sformułować jako zadanie znalezienia a_k takich, że

$$\sum_{k=0}^N a_k \exp\left(\frac{2\pi * i * j * k}{N + 1}\right) = b_k \quad j = 0, \dots, N.$$

Okazuje się, że rozwiązanie możemy wyrazić poprzez operator dyskretnej transformaty Fouriera, czy równoważnie jako mnożenie przez macierz $\mathcal{F}_{N+1} = \frac{1}{N+1}(\omega_{N+1}^{k*l})_{k,l=0}^N$:

$$\vec{a} = \mathcal{F}_{N+1} \vec{b}$$

gdzie $\vec{a} = (a_k)_{k=0}^N$, $\vec{b} = (b_k)_{k=0}^N$, a $\omega_{N+1} = \exp\left(\frac{-2\pi*i}{N+1}\right)$.

Mnożenie przez macierz \mathcal{F}_{N+1} można szybko wykonać z wykorzystaniem algorytmu szybkiej transformacji Fouriera, czyli FFT (Fast Fourier Transform). Odpowiednia wersja algorytmu FFT służy też szybkiemu mnożeniu przez macierz odwrotną do \mathcal{F}_{N+1} : $\mathcal{F}_{N+1}^{-1} = (N+1)\overline{\mathcal{F}_{N+1}} = (\overline{\omega_{N+1}^{k*l}})_{k,l=0}^N$.

Obliczając wartość wielomianu $\sum_k a_k z^k$ w punktach z_j , czy równoważnie wartości wielomianu trygonometrycznego $\sum_{k=0}^N a_k \exp(i * k * x)$ w punktach $x_j = \frac{2\pi*j}{N+1}$, to przyjmując $b_j = \sum_k a_k z_j^k$ otrzymujemy:

$$\vec{b} = \mathcal{F}_{N+1}^{-1} \vec{a}.$$

Warto dodać, że często macierz DFT definiuje się bez czynnika $\frac{1}{N+1}$, oczywiście wtedy macierz odwrotna też musi być odpowiednio przeskalowana.

Funkcja

fft ()

służy w octave'ie mnożeniu przez macierz \mathcal{F}_{N+1} . Jej najprostsze wywołanie to

a=**fft** (b)

Sprawdźmy, czy funkcja **fft** () oblicza wartość DFT zgodnie z naszą definicją. Policzmy $\mathcal{F}_4(4, 0, 0, 0)^T$, powinniśmy otrzymać wektor samych jedynek:

a=**fft** ([4 ; 0 ; 0 ; 0])

a otrzymaliśmy:

a =

4 + 0 i
 4 + 0 i
 4 + 0 i
 4 - 0 i

To oznacza, że funkcja **fft** () oblicza wartość mnożenia przez $(N+1) * \mathcal{F}_{N+1}$.

Z kolei funkcja **ifft** () powinna obliczać mnożenie przez macierz odwrotną do $(N+1) * \mathcal{F}_{N+1}$.

Sprawdźmy, jak to działa:


```

x=[1, -3, 4, 5];
a=fft(x);
xx=ifft(a);
x-xx
norm(x-xx, 2)

```

Powtórzmy to dla większego N :

```

x=rand(100);
a=fft(x);
xx=ifft(a);
norm(x-xx, 2)

```

Stwórzmy macierz $(N+1) \times \mathcal{F}_{N+1}$ i porównajmy szybkość mnożenia przez tę macierz wykonaną za pomocą standardowego operatora octave'a, czyli operatora $*$, z szybkością działania funkcji `fft()`.

Stwórzmy najpierw funkcję tworzącą macierz $(N+1) \times \mathcal{F}_{N+1}$:

```

function F=DFTmac(N=3)
om=exp((-2*pi*i*(0:N))/(N+1));
F=zeros(N+1,N+1);
for k=0:N,
    F(k+1,:)=om.^k;
endfor
endfunction

```

Przetestujmy ją na początek dla $N = 3$:

```

F=DFTmac(3)
F*F'
a=rand(4);
norm(fft(a)-F*a, 2)

```

W tym przypadku wyniki się pokrywają.

Zgodnie z teorią, por. np. [8], koszt obliczenia DFT przy zastosowaniu algorytmu FFT to $O(n \log_2(n))$, a standardowe mnożenia przez macierz \mathcal{F}_n kosztuje $O(n^2)$.

A teraz testujemy szybkość:

```

n=4*512
F=DFTmac(n-1);
x=rand(n);
tic; y=F*x; t1=toc
tic; yy=fft(x); t2=toc
t1/t2

```

Na moim komputerze FFT było ponad 63 razy szybsze dla $n = 2048$.

Policzmy jeszcze wykres realnego kosztu względem n :

```
n=t1=t2=zeros(100,1);
n(1)=100;
for k=1:100,
    F=DFMac(n(k)-1);
    x=rand(n(k));
    tic; y=F*x; t1(k)=toc;
    tic; yy=fft(x); t2(k)=toc;
    n(k+1)=n(k)+10;
endfor
n=n(1:100);
plot(n,t1,"mnozenie_przez_macierz",n,t2,"fft")
```

Na wynik chwilę musimy poczekać, ale potwierdza on teorię, że FFT jest wyraźnie szybszym algorytmem.

5.4 Interpolacja splajnowa

W przypadku interpolacji splajnowej rozpatrujemy dane węzły:

$$a = x_0, \dots, x_N = b$$

na odcinku $[a, b]$, oraz funkcje splajnowe (splajny), czyli funkcje, które są odpowiedniej klasy gładkości (czyli są w $C^k([a, b])$), oraz obcięte do dowolnego pododcinka $[x_k, x_{k+1}]$ dla $k = 0, \dots, N - 1$, są wielomianami co najwyżej ustalonego stopnia.

W przypadku splajnów kubicznych rozważamy funkcje, które są klasy C^2 na $[a, b]$, oraz są wielomianami kubicznymi na każdym pododcinku.

Zadanie interpolacji splajnowej kubicznej polega na znalezieniu splajnu kubicznego s takiego, że

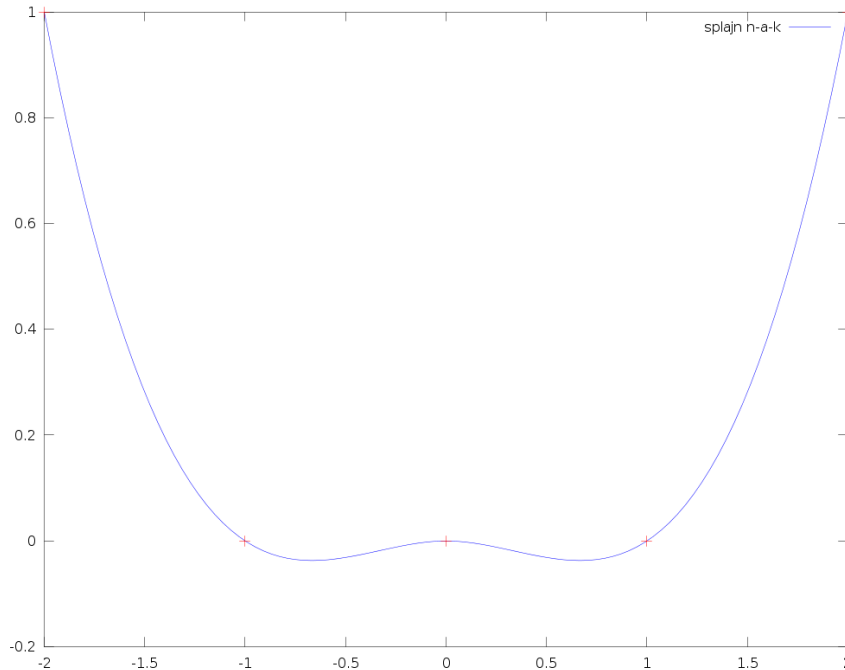
$$s(x_k) = y_k \quad k = 0, \dots, N$$

dla zadanych y_k , oraz spełniającego odpowiednie warunki brzegowe. Np. w przypadku splajnu hermitowskiego s musi spełnić warunki brzegowe hermitowskie:

$$s'(a) = dy_a \quad s'(b) = dy_b$$

dla zadanych dodatkowych dwóch wartości dy_a, dy_b . W przypadku splajnu naturalnego warunki brzegowe to

$$s''(a) = s''(b) = 0.$$



Rysunek 5.4: Wykres prostego splajnu typu not-a-knot. Czerwone plusy oznaczają punkty interpolacji

Rozpatruje się również splajny typu *not-a-knot*. W tym przypadku, zamiast warunków brzegowych, dodaje się sztucznie dwa warunki ciągłości trzeciej pochodnej w węzłach x_1 i x_{N-1} .

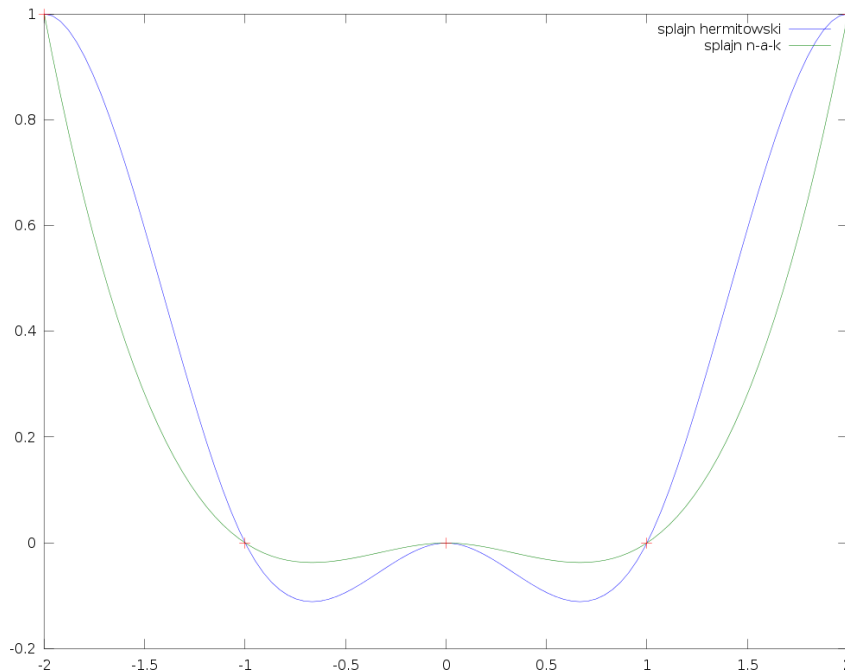
Z kolei splajny okresowe spełniają następujące warunki brzegowe okresowe:

$$s^{(j)}(a) = s^{(j)}(b) \quad j = 0, 1, 2.$$

W każdym z tych czterech przypadków splajn interpolacyjny jest wyznaczony jednoznacznie, por. np. [11].

W octave'ie istnieje kilka funkcji związanych z interpolacją splajnami kuubicznymi, czy ogólnie - z funkcjami wielomianowymi na pododcinkach:

- **spline()** - funkcja służąca znalezieniu splajnu interpolacyjnego hermitowskiego, czy typu *not-a-knot*
- **ppval()** - funkcja służąca obliczeniu wartości splajnu zadanego w formacie octave'a



Rysunek 5.5: Wykresy prostych splajnow typu not-a-knot i hermitowskiego (z zerowymi pochodnymi w końcach) z tymi samymi warunkami interpolacyjnymi. Czerwone plusy oznaczają punkty interpolacji

- `mkpp()` - tworzy funkcję wielomianową na pod-odcinkach (szczegóły **help** `mkpp()`)
- `unmkpp()` - ze struktury splajnu w octave'ie zwraca współczynniki wielomianów na pod-odcinkach (szczegóły **help** `unmkpp()`)

Podstawową funkcją służącą znalezieniu splajnu interpolacyjnego hermitowskiego, czy typu *not-a-knot* jest funkcja **spline()**. Jej najprostsze wywołanie to

`p=spline(x,y)`

gdzie x to wektor wymiaru N z węzłami interpolacji splajnowej, a wektor y ma tę samą długość co x i zawiera wartości jakie ma przyjąć splajn w tych węzłach. Druga możliwość to - przy takim samym wektorze węzłów x , podanie wektora y o długości $N + 2$. Wtedy pierwsza i ostatnia wartość wektora y to wartości pochodnych splajnu w końcowych węzłach x . Pozostałe

wartości y tzn. y_k dla $k = 2, \dots, N+1$ zawierają wartości splajnu w węzłach z x , czyli są takie same jak w pierwszym przypadku. Funkcja zwraca strukturę typu *pp*, czyli w odpowiednim formacie octave'a splajnu kubicznego typu *not-a-knot* w pierwszym przypadku, a w drugim - splajnu hermitowskiego. Następnie, korzystając z funkcji `ppval()` można obliczyć wartość tego splajnu w punkcie, czy tablicy punktów.

Policzmy splajn który w węzłach $-2, 1, 0, 1, 2$ przyjmie wartości $1, 0, 0, 0, 1$ i narysujmy jego wykres, por. rysunek 5.4:

```
x = -2:2;
y = [1, 0, 0, 0, 1];
pp = spline(x, y);
z = linspace(-2, 2);
plot(z, ppval(pp, z), " ; splajn_n-a-k ; ", x, y, " r+");
```

Korzystając z tej samej funkcji, stwórzmy splajn hermitowski przyjmując, że jego pochodne w końcach wynoszą zero. Następnie narysujmy wykresy obu splajnów na odcinku $[-2, 2]$, por. rysunek 5.5, oraz blisko lewego końca, por. rysunek 5.6:

```
x = -2:2;
y = [1, 0, 0, 0, 1];
pp = spline(x, y);
yh = [0, y, 0];
ph = spline(x, yh);
z = linspace(-2, 2);
plot(z, ppval(ph, z), " ; splajn_hermitowski ; ", ...
z, ppval(pp, z), " ; splajn_n-a-k ; ", x, y, " r+");
pause(2);
z = linspace(-2, -2+0.1);
plot(z, ppval(ph, z), " ; splajn_hermitowski ; ", ...
z, ppval(pp, z), " ; splajn_n-a-k ; ", -2, 1.3);
```

Widać, że splajny są różne, oraz że splajn hermitowski ma pochodną równą zero w lewym i prawym końcu.

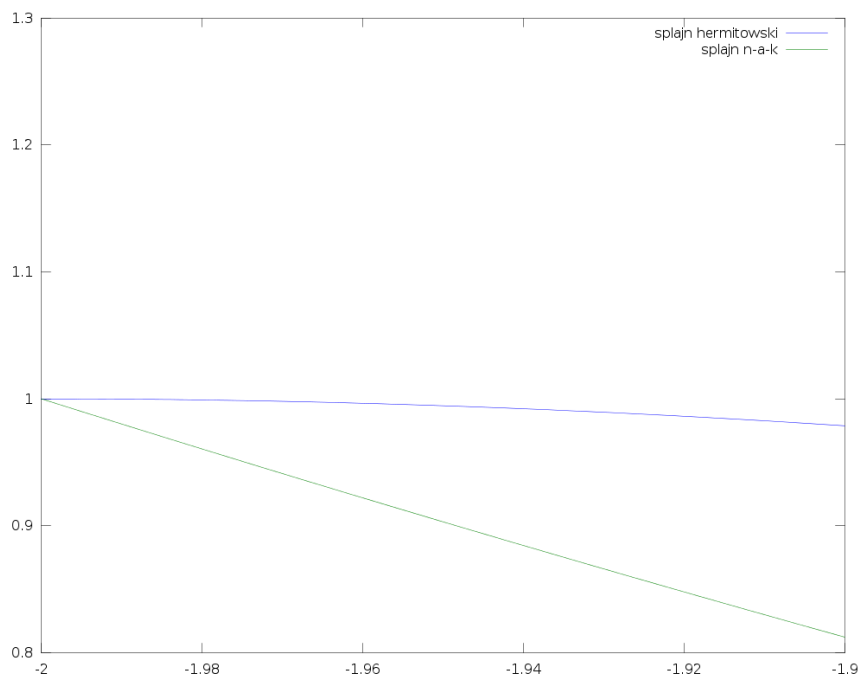
Czy w octave'ie można wyznaczyć w prosty sposób inne splajny, np. naturalny lub okresowy?

Okazuje się, że tak, ale trzeba wykorzystać funkcję z rozszerzenia octave'a, czyli octave-forge'a: `csape()`.

Jej wywołanie to

```
pp = csape(x, y, cond, valz)
```

gdzie x, y to wektory długości N z węzłami i wartościami splajnu w węzłach, a *cond* przyjmuje wartości:



Rysunek 5.6: Wykresy prostych splajnów typu not-a-knot i hermitowskiego (z zerowymi pochodnymi w końcach) blisko lewego końca.

- *'variational'* w przypadku splajnu interpolacyjnego kubicznego naturalnego
- *'complete'* w przypadku splajnu interpolacyjnego kubicznego hermitowskiego, wartości pochodnych w końcach są podane w parametrze `valc`
- *'not-a-knot'* w przypadku splajnu interpolacyjnego kubicznego typu *not-a-knot*
- *'periodic'* w przypadku splajnu interpolacyjnego kubicznego okresowego
- *'second'* w przypadku splajnu interpolacyjnego kubicznego z ustalonymi wartościami drugiej pochodnej w końcach, zgodnymi z tym, co podano w parametrze `valc`

Funkcja zwraca strukturę typu *pp*, czyli dane splajnu kubicznego w formacie *octave'a*.

Porównajmy wyniki tej funkcji z wynikiem funkcji `spline()` dla danych z naszego prostego przykładu i splajnu typu *not-a-knot*. Policzmy dyskretną normę maksimum (na siatce równomiernej 300 punktów na $[-2, 2]$ z wyników obu funkcji:

```
x = -2:2;
y = [1, 0, 0, 0, 1];
pp = spline(x, y);
pp1 = csape(x, y, 'not-a-knot');
z = linspace(-2, 2, 300);
norm(ppval(pp, z) - ppval(pp1, z), 'inf')
```

Otrzymałmy zero.

Na jednym wykresie narysujmy wykresy trzech splajnów interpolacyjnych dla $N = 6$ z tymi samymi warunkami interpolacyjnymi, ale z różnymi warunkami brzegowymi: hermitowskim, *not-a-knot* i naturalnym.

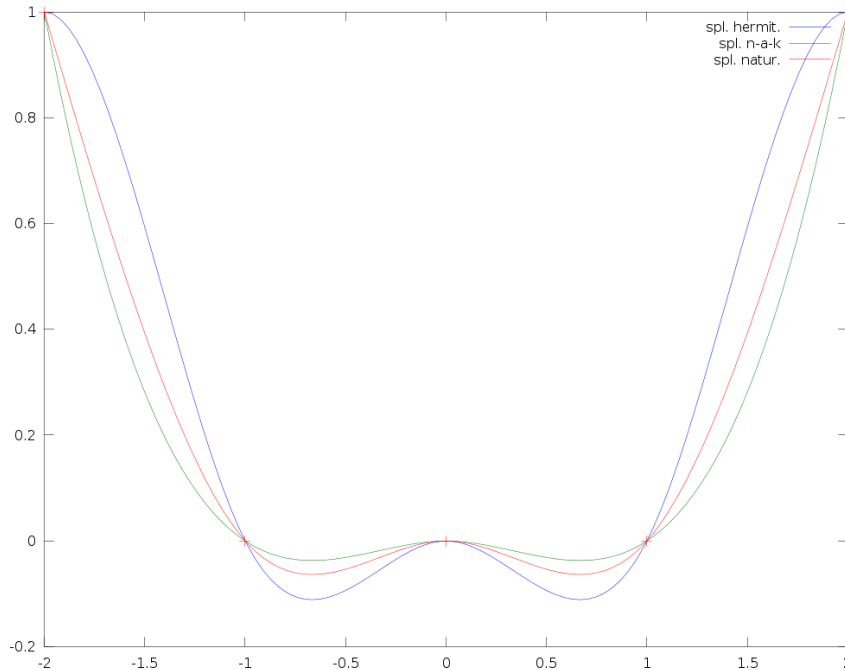
```
N = 4;
x = -2:2;
y = [1, 0, 0, 0, 1];
pp = spline(x, y);
ppn = csape(x, y, 'variational');
yh = [0, y, 0];
pph = spline(x, yh);
z = linspace(-2, 2);
plot(z, ppval(pph, z), "spline_hermit;", ...
z, ppval(pp, z), "spline_n-a-knot;", ...
z, ppval(ppn, z), "spline_natural;", x, y, "r+");
```

Wszystkie trzy splajny są różne w tym przypadku, por. rysunek 5.7.

Oczywiście obie funkcje umożliwiają dowolny wybór węzłów, np. weźmy węzły $[-2, -1, 2, 3, 4]$ z tymi samymi wartościami i stwórzmy splajny obu typów, por. rysunek 5.8:

```
x = [-3, 2, 3, 4];
y = [1, 0, 0, 0, 1];
pp = spline(x, y);
yh = [0, y, 0];
ph = spline(x, yh);
z = linspace(-3, 4);
plot(z, ppval(ph, z), "splajn_hermitowski;", ...
z, ppval(pp, z), "splajn_n-a-knot;", x, y, "r+");
```

Popatrzmy na błędy aproksymacji w normie supremum. Ustalmy, że interpolujemy splajnami kubicznymi znaną funkcję gładką $f(x)$ na czterech



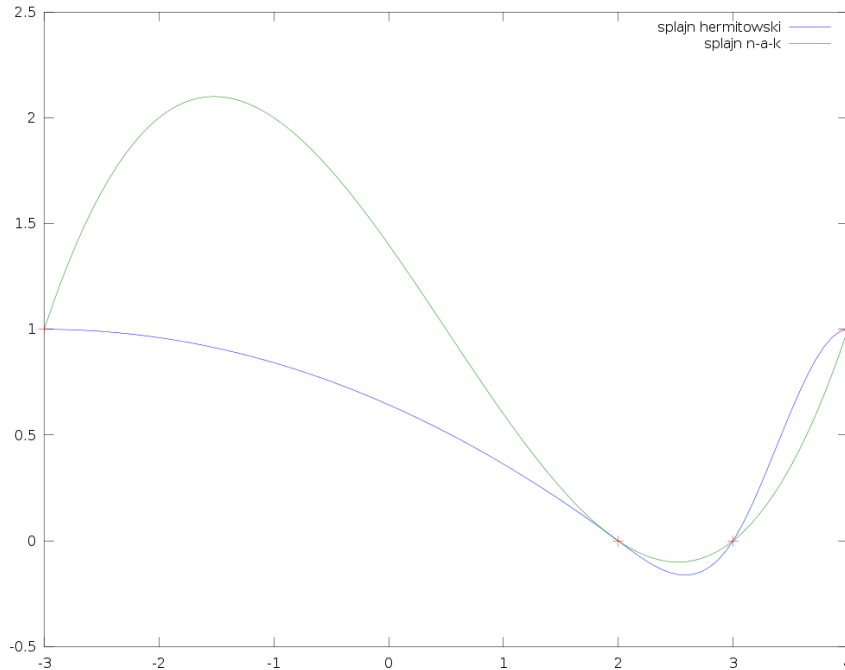
Rysunek 5.7: Wykresy trzech różnych splajnów spełniających te same warunki interpolacyjne. Splajn hermitowski posiada pochodne równe zero w końcach odcinka.

węzłach równoodległych na odcinku $[a, b]$. Jeśli pp to struktura typu pp opisująca splajn interpolujący f , to dyskretną normę maksimum różnicy między f , a splajnem s , np. na siatce o tysiącu punktach, możemy obliczyć komendą:

```
z=linspace(a,b,1000);
y=f(z);
s=ppval(pp,z);
errmax=norm(s-y,'inf')
```

Założyliśmy, że funkcja f jest zaimplementowana wektorowo, tzn. że wywołanie w octave'ie $f(z)$ dla z wektora zwróci wektor $(f(z(k)))$. W przeciwnym razie należałoby użyć pętli do wyznaczenia wektora y :

```
z=linspace(a,b,1000);
for k=1:length(z),
    y(k)=f(z(k));
endfor
```

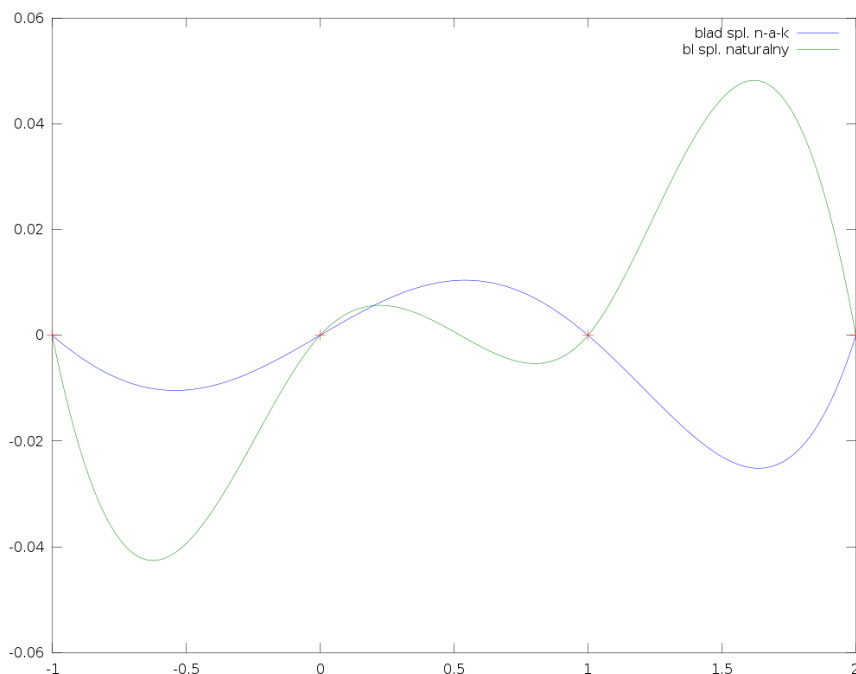



Rysunek 5.8: Wykresy prostych splajnów typu not-a-knot i hermitowskiego z węzłami nierównoodległymi z tymi samymi warunkami interpolacyjnymi. Czerwone plusy oznaczają punkty interpolacji. Splajn hermitowski posiada pochodne równe zero w końcach odcinka.

```
s=ppval(pp,z);
errmax=norm(s-y,'inf')
```

W poniższym kodzie obliczymy przybliżoną normę maksimum na odcinku $[-1, 2]$ pomiędzy $f(x) = \sin(x)$, a jej dwoma splajnami interpolacyjnymi kubicznymi: naturalnym i typu not-a-knot na czterech węzłach równoodległych:

```
a=-1;
b=2;
f=@sin;
N=4;
x=linspace(a,b,4);
y=f(x);
pp=spline(x,y);
ppn=csape(x,y,'variational');
z=linspace(a,b,1000);
```



Rysunek 5.9: Wykresy różnicy pomiędzy funkcją $\sin(x)$, a jej dwoma splajnami interpolacyjnymi - naturalnym i typu not-a-knot. Czerwone plusy oznaczają cztery równoodległe punkty interpolacji na $[-1, 2]$.

```
fz=f(z);
pz=ppval(pp,z);
pn=ppval(ppn,z);
err=norm(fz-pz,'inf')
errn=norm(fz-pn,'inf')
```

Błąd dla splajnu naturalnego był większy: $errn = 0.048190$, niż dla splajnu typu not-a-knot: $err = 0.025120$, co widać też na rysunku 5.9.

Jako zadanie pozostawiamy policzenie błędów dla innych funkcji, węzłów i typów splajnów kubicznych interpolacyjnych.